

دمافشارسنجدی توده‌های نفوذی غرب تفت بر پایه داده‌های شیمی کانی‌ها

جواد قانعی اردکان

گروه زمین‌شناسی، دانشگاه پیام نور، تهران، ایران

(دریافت مقاله: ۱۴۰۲/۱۰/۲۷، نسخه نهایی: ۱۴۰۳/۱/۱۵)

چکیده: بررسی توده‌های گرانیت‌وئیدی غرب تفت، در بخش میانی پهنه ایران مرکزی، بیانگر حضور کانی‌های کوارتز، ارتوکلاز، پلاژیوکلاز به عنوان کانی‌های اصلی و آمفیبول، بیوتیت، اسفن، زیرکن و آپاتیت به عنوان کانی‌های فرعی است. در این سنگ‌ها، بافت‌های دانه‌ای دانه‌متوسط تا دانه‌ریز، گرانوفیری و میرمیکیتی دیده می‌شوند. داده‌های تجزیه شیمی کانی‌ها نشان می‌دهد که در این توده‌ها، آمفیبول‌های نوع کلسیمی با ماهیت منیزیوپوربلند تا اکتینولیت در دمای $C = 659 - 891$ Kbar، فشار $4.9 - 2.1$ Km و عمق $6 - 44$ کیلومتر شده‌اند. همچنین فلدسپارهای نوع الیگوکلاز تا آندزین متعلق به دمای $700 - 800$ °C، و بیوتیت‌های نوع منیزیم‌دار متعلق به دمای $700 - 750$ °C متببور شده‌اند. شیمی کانی کلریت به دخالت فرآیندهای دگرسانی و تشکیل این سنگ‌هاست که طی صعود دچار آلایش پوسته‌ای متوسط تا شدید شده‌اند. شیمی کانی کلریت به دخالت فرآیندهای دگرسانی و تشکیل این کانی در دمای $330 - 360$ درجه سانتی‌گراد اشاره دارد. ترکیب همه داده‌ها گویای ماهیت آهکی قلیایی نوع I توده‌های نفوذی مورد بررسی است که در پهنه ساختاری فرورانش و در ارتباط با کرانه قاره‌ای فعال تشکیل شده‌اند.

واژه‌های کلیدی: شیمی کانی؛ توده گرانیت‌وئیدی؛ آهکی قلیایی؛ تفت؛ دمافشارسنجدی.

توده‌ی گرانیت‌وئیدی علی‌آباد دارای ترکیب گرانیت تا کوارتزدیوریت و مشخصه‌های ماقمای آهکی قلیایی، متا‌آلومین و از گرانیت‌وئیدی نوع I بوده که در یک محیط زمین‌ساختی- ماقمایی وابسته به کمان‌های آتشفسانی یا کمان‌های آتشفسانی- نفوذی شکل گرفته است [۲]. در این پژوهش، شیمی کانی‌های آمفیبول، بیوتیت، فلدسپار و کلریت و مگنتیت دو توده‌ی گرانیت‌وئیدی علی‌آباد و آدربلندان در غرب تفت بررسی شده است.

زمین‌شناسی عمومی منطقه قدیمی‌ترین سازند منطقه، سازندکهر بوده که پی‌سنگ منطقه را تشکیل داده و شامل شیل و ماسه‌سنگ است. دولومیت‌های چرت‌دار سازند سلطانیه در منطقه خضرآباد به صورت ناهمساز روی نهشته‌های کهر قرار گرفته‌اند و سپس با مجموعه رسوب‌های تخریبی و لایه‌های سنگ آهک و دولومیت پرمین دنبال شده‌اند (شکل ۱) [۱]. برخی زمین‌شناسان بر این باورند که

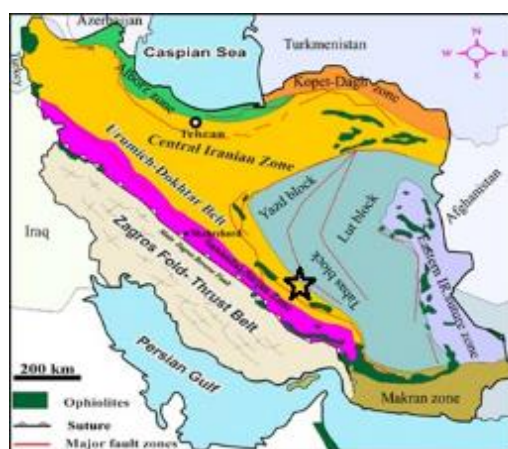
مقدمه

امروزه داده‌های تجزیه شیمی کانی‌ها برای تعیین سیر دگرگونی‌ها، نوع ماقما و موقعیت‌های زمین‌ساختی بسیار و زمین‌شناسان با استفاده از تجزیه‌های ریزپردازشی به نتایج جالبی پیرامون منطقه و سنگ مورد بررسی دست می‌یابند. در این بین، استفاده از شیمی کانی‌هایی چون آمفیبول، بیوتیت و فلدسپات‌ها بسیار رایج است. با توجه به حضور این کانی‌ها در گرانیت‌وئیدها، می‌توان با ریزپردازش کانی‌های نام برده سرگذشت توده‌های گرانیت‌وئیدی را برآورد کرد. در پی فازهای فعالیت ماقمای متنوعی در ایران، توده‌های گرانیت‌وئیدی شکل گرفته و توسط زمین‌شناسان بررسی شده‌اند.

یکی از این فازهای فعالیت ماقمایی، فاز ماقمایی شیرکوه است که در اثر فازهای تاخیری آن، توده‌های نفوذی روشن متنوعی در منطقه علی‌آباد، حسن‌آباد و دره زرشک تشکیل شده‌اند (شکل ۱) [۱]. برخی زمین‌شناسان بر این باورند که

*نویسنده مسئول: ghaneijavad@pnu.ac.ir، پست الکترونیکی: ۰۹۱۳۳۵۵۷۲۳۶





شکل ۱ موقعیت منطقه مورد بررسی در نقشه زمین‌شناسی واحدی ساختاری ایران [۱].

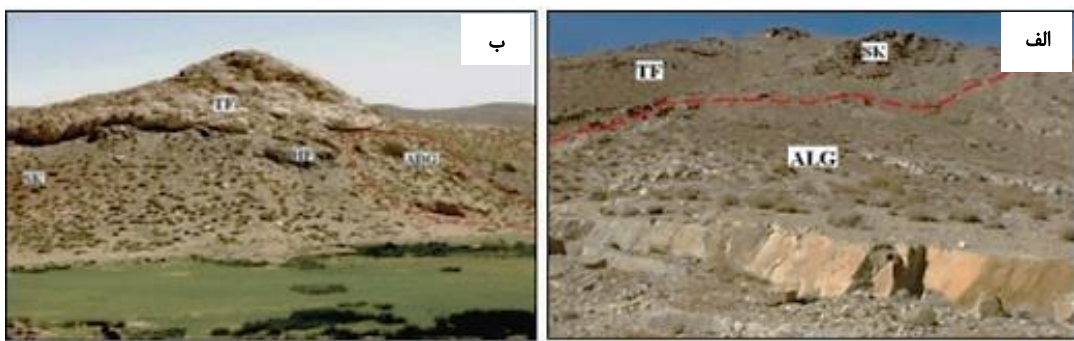
گسل‌های اصلی کشیدگی دارد. در پی تزریق این توده به درون شیل، ماسه سنگ و آهک‌های مژوزویک، اسکارن و هورنفلس و تشکیل شده و کانه‌زایی آهن و مس رخ داده است (شکل ۳ الف). همچنین دگرسانی‌های گرمابی در منطقه دیده می‌شود. توده نفوذی آدربلندان در ۴۵ کیلومتری غرب تفت و در شرق رستای استاز بدرون سنگ‌های آهکی کرم تا سفید رنگ کرتاسه نفوذ کرده و منجر به تشکیل اسکارن، مرمر، هورنفلس و کانه‌زایی مس شده است (شکل ۲). این توده با روند شمال غربی- جنوب شرقی به صورت توده کشیده، کم ارتفاع و تپه ماهوری دیده می‌شود. این توده در نمونه دستی دارای رنگ روشن، تمام روشن و هولوکریستالین و دربردارنده درشت بلورهای پلازیوکلاز و کوارتز است (شکل ۳ ب).

می‌شوند. رسوب‌های مژوزوئیک شامل سنگ‌های لاتریت- آتشفسانی تریاس پیشین، شیل ماسه‌ای، ماسه‌سنگ و آهک تریاس پسین هستند [۳]. رسوب‌های تخریبی کرتاسه به صورت پیشرونده روی نهشته‌های تریاس پسین قرار دارند [۴]. در آخر پالئوزن با تشکیل کنگلومرای کرمان در قاعده، آغاز و سپس با جایگیری نهشته‌های رسوبی- آتشفسانی روی آن تکمیل می‌گردد.

توده نفوذی علی‌آباد در ۴۰ کیلومتری غرب تفت و به صورت پراکنده در پیرامون روستای علی‌آباد، دره‌زرشک و حسن‌آباد با رنگ سفید مایل به خاکستری روشن می‌شود (شکل ۲). این توده شکل کشیده با روند عمومی شمال غربی- جنوب شرقی دارد و به نظر می‌رسد که حدود گسترش آن با گسل‌های منطقه کنترل می‌شود و در مقیاس بزرگ تقریباً در راستای



شکل ۲ نقشه زمین‌شناسی توده‌های گرانیتوئیدی علی‌آباد و آدربلندان برگرفته از نقشه ۱:۱۰۰۰۰۰ علی‌آباد [۳].



شکل ۳ الف) نفوذ توده نفوذی گرانیتیوئیدی علی‌آباد (ALG) در سازند تفت (TF) و تشکیل اسکارن (SK) در غرب روستای حسن‌آباد ب) ارتباط صحرایی توده نفوذی گرانیتیوئیدی آدربلندان (ADG) با سازند تفت (TF) و تشکیل اسکارن (Sk) و هورنفلس (HF) در غرب نصرآباد.

کرده است. ارتوكلازها با فراوانی ۲۳ تا ۳۷ درصد به صورت بی‌شکل تا نیمه‌شکلدار و گاهی با بافت پریتی رشته‌ای وجود دارند.

فراوانترین کانی‌های مافیک، آمفیبول‌های درشت و ریزبلور نیمه‌شکلدار تا شکلدار با فراوانی ۲ تا ۵ درصد از نوع هورنبلند هستند (شکل ۴ ب). بیوتیت با فراوانی ۲ تا ۳/۵ درصد به صورت تیغه‌های نیمه‌شکلدار تا بی‌شکل دیده می‌شود. گاهی انباست بلورهای بیوتیت (ثانویه) در راستای رخها و لبه هورنبلند دیده می‌شود. کانی‌های فرعی بیشتر اسفن، پیروکسن، زیرکن و کانی‌های کدر هستند. بر اساس رده‌بندی مودال، توده گرانیتیوئیدی علی‌آباد دارای ترکیب مونزوگرانیت تا گرانوپیوریت است (جدول ۱). همچنین کانی‌های ثانویه اپیدوت، کلریت، اسفن، کلسیت و بیوتیت ناشی از دگرسانی پلازیوکلاز، پیروکسن و هورنبلند به طور گسترده دیده می‌شوند (شکل ۴ پ).

توده نفوذی آدربلندان دارای کانی‌های اصلی پلازیوکلاز، فلدسپار، قلیایی، کوارتز و هورنبلند و کانی‌های فرعی بیوتیت، پیروکسن، آپاتیت، اسفن و کانی‌های کدر است. همچنین کانی‌های ثانویه ناشی از دگرسانی شامل کلریت، اپیدوت، سریسیت، اسفن و کانی‌های رسی نیز در این سنگ‌ها دیده می‌شوند. بافت‌های اصلی شامل دانه‌ای ریز تا متوسطانه، پورفیری، گرانوفیری و حال خال هستند (شکل ۴ ت). پلازیوکلازها بیشتر با فراوانی ۳۹ تا ۵۰ درصد به صورت شکلدار تا نیمه‌شکلدار اغلب به صورت درشت بلور با ماکل تکراری، ماکل صفحه شطونجی، منطقه‌بندی ترکیبی و خاموشی غیریکنواخت دیده می‌شوند. در برخی از بلورها، لبه واکنشی، آثارخوردگی و محوشدگی تیغه‌های ماکل وجود دارند (شکل ۴ ث).

روش بررسی

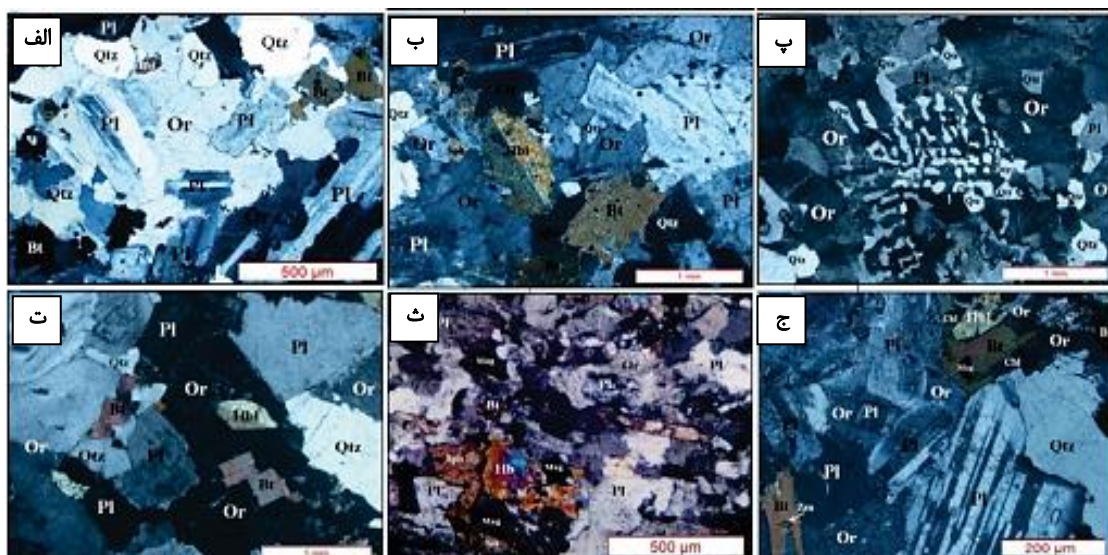
پس از تهیه بیش از ۵۷ مقطع نازک و انجام بررسی‌های سنگ-نگاری، تعداد ۱۲ مقطع نازک از نمونه‌های سالم و با کمترین دگرسانی تهیه شد. سپس کانی‌های مناسب، برای تجزیه نقطه ای با ریزپردازشگر الکترونی انتخاب و به دانشگاه اکلاهماستی امریکا ارسال شدند. در مجموع ۸ نقطه فلدسپار، ۹ نقطه آمفیبول، ۵ نقطه بیوتیت، ۳ نقطه کلریت و ۳ نقطه مگنتیت از توده‌های نفوذی علی‌آباد و آدربلندان به روش طیف‌سنجی تفکیک طول موج (WDS) تجزیه ریزپردازشی شدند. تجزیه‌های ریزپردازشی با دستگاه Cameca مدل SX100 با ولتاژ شتاب‌دهنده ۱۵ kV و شدت جریان ۱۵ nA انجام شد. در آخر از نتایج پردازش داده‌ها با نرم‌افزارهای Minpet 2.02 و اکسل Streetsheet، برای محاسبه فرمول کانی‌ها و زمین‌دماسنگی و زمین‌فشارسنگی استفاده شد. برای تفکیک مقادیر Fe^{2+} و Fe^{3+} در فرمول ساختاری کانی‌های بیوتیت و آمفیبول از روش پیشنهادی مرجع [۵] استفاده شد.

بررسی‌های سنگ‌شناسی و کانی‌شناسی

توده نفوذی علی‌آباد با بافت گرانوفیری، پورفیری، ریزگاشتاری، دانه‌ای ریز تا متوسط دانه شامل کانی‌های اصلی پلازیوکلاز، هورنبلند، کوارتز، ارتوكلاز و بیوتیت قابل مشاهده است. پلازیوکلازها در اندازه چند میکرون تا چند میلیمتر با فراوانی ۲۹ تا ۴۷ درصد بیشتر شکلدار تا نیمه‌شکلدار و گاهی دارای منطقه‌بندی عادی و نوسانی هستند. گاهی در پلازیوکلازها آثار خوردگی و گردشگی با پوششی از ارتوكلاز یا رشد کرمی شکل کوارتز در لبه‌ها دیده می‌شود. (شکل ۴ الف). کوارتزها با فراوانی ۲۱ تا ۳۳ درصد اغلب بی‌شکل و به صورت بین‌دانه‌ای هستند. هم‌شدنی این کانی با فلدسپات‌ها بافت نگاشتاری ایجاد

جدول ۱ نتایج آنالیز مдал سنگ‌های توده‌های نفوذی غرب تفت. علایم اختصاری به کار رفته
Qtz=Quartz, A.F=Alkali Feldspar, Pl=Plagioclase, Bit=Biotite, Hbl=Hornblende, Px=Pyroxene, Ap=Apatite, Opq=Opaque

Sample	Sample No.	Rock Type	Qtz	A.F	Pl	Bit	Hbl	Px	Ap	Opq	Counted
Aliabad	GH.AL.30	Monzogranite	۲۷,۸۴	۲۳,۲	۴۱,۷۶	۲,۵	۲,۴	-	<۰,۱	۱,۲	۶۲۵
	GH.AL.33	Monzogranite	۳۱	۳۷	۳۵,۸	۲,۳	۳,۴	-	-	۰,۵	۶۹۵
	GH.AL.34	Monzogranite	۳۱,۷	۲۸,۸	۳۱,۳	۲,۶	۴,۷	-	-	۰,۹	۷۶۰
	GH.AL.41	Granodiorite	۲۳,۸	۲۴,۱	۴۶,۱	۲,۵	۲,۷	-	<۰,۱	۰,۷	۵۲۰
	GH.AL.49	Granodiorite	۲۵,۷	۲۲,۴	۴۵,۴	۲,۲	۳,۵	-	-	۰,۸	۵۴۰
	GH.AL.57	Monzogranite	۳۲,۸	۳۱,۲	۲۹,۱	۲,۴	۳,۸	-	-	۰,۶	۵۷۰
Ardabilan	GH.AD.1	Granodiorite	۲۳,۵	۲۲	۵۰,۲	۱,۷	۲,۲	-	<۰,۱	۰,۳	۵۸۰
	GH.AD.2	Granodiorite	۲۱,۷	۲۴,۱	۴۸,۷	۲,۳	۲,۵	-	<۰,۱	۰,۶	۵۷۰
	GH.AD.5	Monzogranite	۲۵	۲۵,۹	۴۳,۴	۲,۲	۲,۸	-	-	۰,۷	۵۱۰
	GH.AD.9	Monzogranite	۳۰,۶	۲۱,۲۰	۴۳,۲	۲,۳	۲,۱	-	-	۰,۶	۵۸۰
	GH.AD.12	Monzogranite	۲۸,۲	۲۵,۴	۳۸,۹	۲,۶	۳,۸	-	-	۱,۱	۶۰۵



شکل ۴ تصاویر (XPL) از (الف) بافت گرانولار و بلورهای پلازیوکلاز در توده علی‌آباد، (ب) بافت گرانولار و منشورهای هورنبلند در توده علی‌آباد، (پ) بافت میرمکیتی و گرانوفیری در توده علی‌آباد، (ت) بافت گرانولار و حضور پلازیوکلاز، ارتوکلازپرتیتی، هورنبلند، بیوتیت و کوارتز در توده نفوذی آدربلندان، (ث) هورنبلند، بیوتیت، اسفن و اوپک در توده آدربلندان، (ج) درشت بلور پلازیوکلاز، هورنبلند، بیوتیت و کلریت در توده نفوذی آدربلندان.

براساس رده‌بندی مodal، توده نفوذی آدربلندان در گستره مونزگرانیت تا گرانوپوریت قرار دارد (جدول ۱).

شیمی آمفیبول

آمفیبول براساس تنوع ساختاری و ترکیب شیمیایی می‌تواند در گستره وسیعی از انواع سنگ‌ها با شرایط دما و فشار متفاوت ظاهر شود [۶]. بر پایه ترکیب شیمیایی این کانی، می‌توان به سرنوشت تبلور ماقمایی آن پی برد. در جدول ۲ نتایج تجزیه ریزپردازشی ۹ نقطه از دو توده نفوذی مورد بررسی آورده شده‌اند. در شکل ۵ تصاویر الکترون‌های پس پراکنده (BSE) از آمفیبول‌های مورد بررسی نشان داده شده‌اند. جایابی داده‌های ریزپردازشی آمفیبول در نمودارهای مرجع [۸,۷]

کوارتزها با فراوانی ۲۲ تا ۳۱ درصد بی‌شكل و به صورت بین‌دانه‌ای هستند و اغلب بواسطه همرشدی با ارتوکلازاها با بافت گرانوفیری آشکار می‌شوند. ارتوکلاز با فراوانی ۲۲ تا ۲۶ درصد به صورت بی‌شكل تا نیمه‌شكل دار و گاهی با بافت پرتیتی رشته‌ای و یا همرشدی با کوارتز (بافت نگاشتاری) وجود دارد. آمفیبول با فراوانی ۲ تا ۴ درصد، فراوان ترین کانی مافیک در توده آدربلندان است که به صورت نیمه‌شكل دار تا شکل دار دیده می‌شود. بیوتیت با فراوانی ۱/۵ تا ۲/۵ درصد به صورت تیغه‌های نیمه‌شكل دار تا بی‌شكل در بردارنده میانبارهایی از زیرکن، اکسید‌آهن و اسفن است (شکل ۴ ج). گاهی بیوتیت‌های در حال تبدیل به کلریت و اسفن دیده می‌شوند.

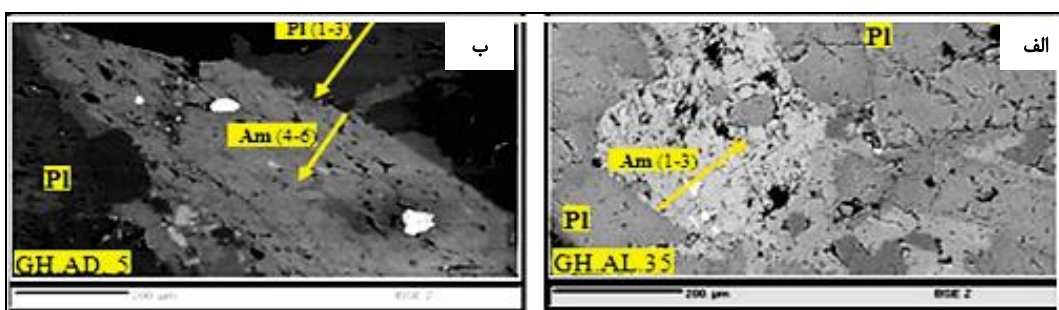
هشت‌وجهی (Al^{VI}) بر خلاف Al^{IV} با افزایش فشار افزایش می‌یابد و دما بر آن بی‌اثر است. محاسبه مقدار AlT و AlIT اساس سنجش فشار بر پایه ترکیب آمفیبول است، زیرا مقدار Al در آمفیبول تابع غلظت Al در مagma مادر نبوده بلکه تابع شرایط محیط تبلور این کانی یعنی فشار حاکم بر تبلور است. به بیانی، مقدار Al در ارتباط مستقیم با عمق جایگیری توده است و هرچه مقدار Al موجود در آمفیبول بیشتر باشد، توده گرانیتی در عمق بیشتری جایگیری نموده است.

نشانگر ترکیب کلسیمی این کانی‌هاست که در گستره فروهورنبلند، ترمولیت و فرواکتینولیت قرار دارد و شاخص گرانیت‌های نوع I هستند [۶] (شکل ۶). آمفیبول کانی مناسبی برای زمین دمافارسنجی به شمار می‌رود [۹، ۱۰]. Al ، Ca ، Ti و Na در ترکیب آمفیبول تابع فشار، دما و گرینزندگی اکسیژن است. همچنین کاتیون‌هایی چون تیتانیم، آلومینیم کل و آلومینیم چاروچه (Al^{IV}) نسبت به دما حساس هستند؛ به طوری که افزایش دما، باعث افزایش مقدار Ti و سرانجام افزایش مقدار Al^{IV} می‌گردد. مقدار آلومینیم Ti و سرانجام افزایش مقدار Al^{IV} می‌گردد.

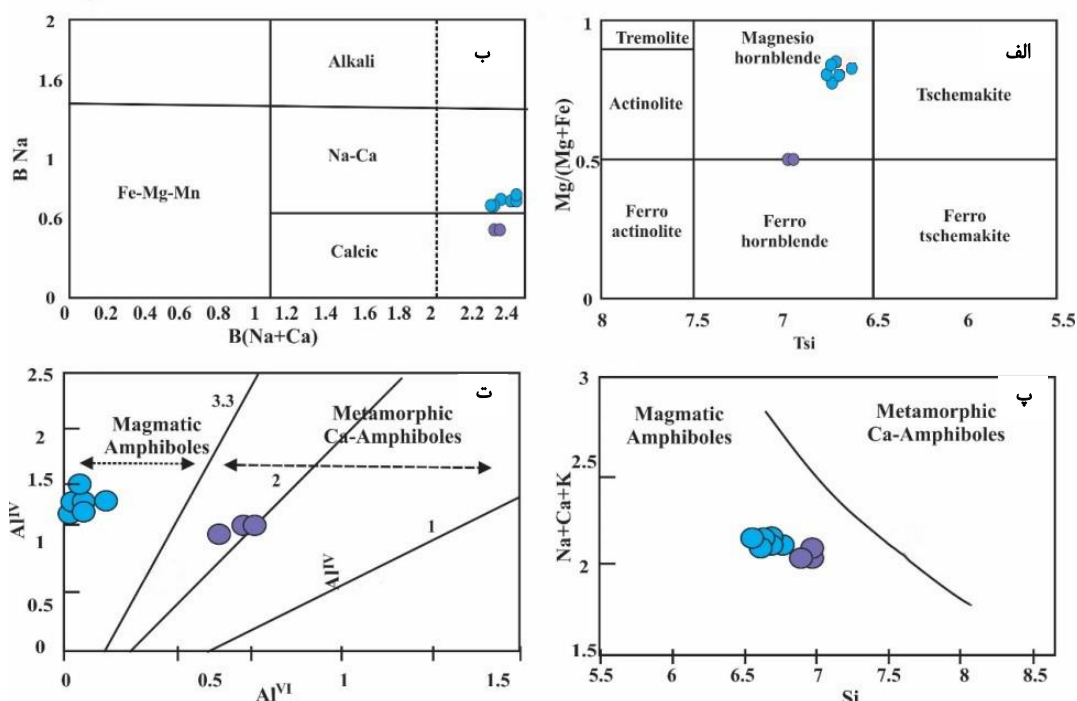
جدول ۲ نتایج آنالیز مایکروپروب آمفیبول‌های توده‌های نفوذی علی‌آباد، آذربایجان (بر اساس ۲۳ اکسیژن). علایم اختصاری به کار رفته در جدول

R=Rim M=Middle C=Core Mg-Hb=Magnesio-Homblende Tre=Tremolite Ede=Edenite:

N.Sample	AL.35	AL.35	AL.35	AL.35	AL.35	AL.35	AD.5	AD.5	AD.5
Position	2/1/R	2/2/M	2/3/C	4/7/C	4/8/M	4/9/R	1/4/R	1/5/M	1/6/C
SiO_2	۴۶,۸۹	۴۶,۳۹	۴۵,۹۱	۴۶,۹۳	۴۷,۴۹	۴۷,۶۰	۷۴,۸۵	۷۴,۹۴	۴۸,۰۴
TiO_2	۱,۳۴۰	۲,۵۴۰	۲,۴۹۰	۱,۶۱۰	۱,۷۸۰	۱,۴۹۰	۰,۲۱۰	۰,۱۵۰	۰,۱۲۰
Al_2O_3	۸,۵۶۰	۸,۷۵۰	۸,۷۲۰	۷,۸۳۰	۸,۲۲۰	۷,۷۸۰	۹,۷۷۰	۸,۴۸۰	۹,۷۵۰
FeO	۱۰,۶۰	۱۰,۴۲	۱۰,۹۹	۱۲,۴۸	۱۲,۵۳	۱۲,۰۵	۱۰,۸۰	۱۱,۳۹	۱۱,۰۳
MnO	۰,۳۲۰	۰,۳۰۰	۰,۳۲۰	۰,۳۶۰	۰,۳۴۰	۰,۳۹۰	۰,۱۲۰	۰,۰۹۰	۰,۱۰۰
MgO	۱۶,۲۲	۱۶,۱۷	۱۵,۷۳	۱۵,۳۴	۱۵,۸۳	۱۵,۸۰	۱۴,۱۲	۱۴,۳۲	۱۴,۰۸
CaO	۱۱,۴۰	۱۱,۴۸	۱۱,۴۳	۱۰,۹۷	۱۱,۰۷	۱۱,۰۶	۱۱,۷۸	۱۱,۹۶	۱۱,۸۸
Na_2O	۲,۵۷۰	۲,۷۵۰	۲,۷۰۸	۲,۴۱۰	۲,۴۰۰	۲,۳۷۰	۱,۷۸۰	۱,۷۰۰	۱,۷۸۰
K_2O	۰,۶۹۰	۰,۶۷۰	۶	۰,۶۳۰	۰,۵۷	۰,۵۹۰	۰,۱۵۰	۰,۱۳۰	۰,۱۶۰
F	۰,۰۰۰	۰,۰۰۰	۰,۰۰۰	۰,۰۰۰	۰,۰۰۰	۰,۰۰۰	۰,۰۰۰	۰,۰۰۰	۰,۰۰۰
Cl	۰,۰۰۰	۰,۰۰۰	۰,۰۰۰	۰,۰۰۰	۰,۰۰۰	۰,۰۰۰	۰,۰۰۰	۰,۰۰۰	۰,۰۰۰
Total	۹۹,۱۶	۹۹,۹۲	۹۹,۵۰	۹۹,۲۹	۱۰,۱,۹	۹۹,۸۸	۹۶,۷۹	۹۶,۷۸	۹۷,۱۴
Si	۶,۶۸	۶,۵۸	۶,۵۶	۶,۷۱	۶,۶۵	۶,۷۴	۶,۹۳	۶,۹۷	-۶,۹۵
AlIV	۱,۳۲	۱,۴۲	۱,۴۴	۱,۲۹	۱,۳۵	۱,۲۶	۱,۰۷	۱,۰۳	۱,۰۵
AlVI	۰,۱۱	۰,۰۴	۰,۰۳	۰,۰۲	۰,۰۰	۰,۰۳	۰,۶۰	۰,۴۸	۰,۶۱
AlT	۱,۴۳	۱,۴۶	۱,۴۷	۱,۳۱	۱,۳۵	۱,۲۹	۱,۶۷	۱,۵۱	۱,۶۶
Ti	۰,۱۴	۰,۲۷	۰,۲۷	۰,۱۷	۰,۱۹	۰,۱۶	۰,۰۲	۰,۰۲	۰,۰۱
Fe^{+3}	۰,۶۱	-۰,۴۸	۰,۴۸	۰,۷۸	۰,۹۰	۰,۸۰	۰,۲۳	۰,۲۸	۰,۲۱
Fe^{+2}	۰,۶۵	۰,۷۶	۰,۸۳	۰,۷۱	۰,۵۶	۰,۶۳	۱,۰۸	۱,۱۰	۱,۱۲
Mn	۰,۰۴	۰,۰۴	۰,۰۴	۰,۰۴	۰,۰۴	۰,۰۵	۱,۰۱	۰,۰۱	۰,۰۱
Mg	۳,۴۴	۲,۴۲	۳,۳۵	۳,۲۷	۳,۳۰	۳,۳۳	۳,۰۵	۳,۱۰	۳,۰۳
Ca	۱,۷۴	۱,۷۴	۱,۷۵	۱,۶۸	۱,۶۶	۱,۵۸	۱,۸۳	۱,۸۶	۱,۴۸
Na	۰,۷۱	۰,۷۶	۰,۷۷	۰,۶۷	۰,۶۵	۰,۶۵	۰,۵۰	۰,۴۸	۰,۵۰
K	۰,۱۳	۰,۱۲	۰,۱۲	۰,۱۱	۰,۱۰	۰,۱۱	۰,۰۳	۰,۰۲	۰,۰۳
F	۰,۰۰	۰,۰۰	۰,۰۰	۰,۰۰	۰,۰۰	۰,۰۰	۰,۰۰	۰,۰۰	۰,۰۰
Cl	۰,۰۰	۰,۰۰	۰,۰۰	۰,۰۰	۰,۰۰	۰,۰۰	۰,۰۰	۰,۰۰	۰,۰۰
SUM	۱۵,۵۷	۱۵,۶۲	۱۵,۶۴	۱۵,۴۶	۱۵,۴۱	۱۵,۴۳	۱۵,۳۶	۱۵,۳۷	۱۵,۳۷
(Na+Ca)B	۲,۰۰	۲,۰۰	۲,۰۰	۲,۰۰	۲,۰۰	۲,۰۰	۲,۰۰	۲,۰۰	۲,۰۰
Na B	۰,۲۶	۰,۲۶	۰,۲۵	۰,۳۲	۰,۳۴	۰,۳۲	۰,۱۷	۰,۱۴	۰,۱۶
(Na+K) A	۰,۵۷	۰,۶۲	۰,۶۴	۰,۴۶	۰,۴۱	۰,۴۳	۰,۳۶	۰,۳۷	۰,۳۷
$\text{Mg}(\text{Mg}+\text{Fe}+2)$	۰,۸۴	۰,۸۲	۰,۸۰	۰,۸۲	۰,۸۵	۰,۸۸	۰,۷۴	۰,۷۷	۰,۷۳
$\text{Fe}+3(\text{Fe}+3+\text{AlVI})$	۰,۸۴	۰,۹۲	۰,۹۴	۰,۹۷	۱,۰۰	۰,۹۶	۰,۲۸	۰,۳۷	۰,۲۶
Name	Ede	Ede	Ede	Mg-Hb	Mg-Hb	Mg-Hb	Mg-Hb	Mg-Hb	Mg-



شکل ۵ تصاویر BSE از آمفیبول‌های توده‌های نفوذی غرب تفت، (الف) آمفیبول بی‌شکل با ترکیب ادنیت و همزیست با پلازیوکلاز در کوارتزدیوریت علی‌آباد، (ب) آمفیبول نیمه‌شکل دار با ترکیب منیزیو تا فرهورنبلند و در تعادل با پلازیوکلاز در مونزوگرانیت آدربلندان.



شکل ۶ (الف) تقسیم‌بندی آمفیبول‌های توده‌های نفوذی غرب تفت در نمودار [۸]، (ب) نمودار متمازیز کننده آمفیبول‌های آذرین از دگرگونی [۸]، (پ) نمودار مجموع کاتیون‌های $\text{Na}+\text{K}+\text{Ca}$ نسبت به Si [۱۸]، (ت) نمودار AlIV/AlVI نسبت به AlIV/AlVI [۱۹]، (د) نمودار AlIV/AlVI نسبت به AlIV/AlVI [۱۹]، (ب) علی‌آباد.

مقادیر گریزندگی بالاست $\text{Fe} \# = \text{Fe} / (\text{Fe} + \text{Mg})$ کمتر از ۰.۵٪. برای محاسبه کمی گریزندگی اکسیژن از رابطه زیر استفاده شد [۲۰]:

$$\log f_{\text{O}_2} = -30930 / T + 14.98 + 0.142 (\text{P}-1) / T \quad (1)$$

مقدار گریزندگی اکسیژن توده‌های غرب تفت بین ۷-۱۰٪ تا ۱۳٪ bars بوده و براساس شکل ۷ پ، در گستره گریزندگی بالا اکسیژن قرار می‌گیرند [۱۲]. سه نمونه از ترکیب آمفیبول‌های توده علی‌آباد که مقدار Fe^{2+} آنها کمتر از ۰.۳٪ است، دارای گریزندگی اکسیژن کمتر (۷-۱۰٪) و دمای بالاتر (830°C) نسبت به دیگر نمونه‌ها بوده و دارای ترکیب ادنیت هستند، زیرا در دمای بالاتر جانشینی ادنیت بیشتر انجام شده و سبب افزایش Al در شبکه هورنبلند می‌گردد. بر پایه ترکیب

پژوهشگران بسیاری روابطی را برای محاسبه فشار و دما برپایه ترکیب شیمیایی آمفیبول ارائه کرده‌اند [۱۱-۱۷]. نتایج محاسبه فشار بر اساس شیمی کانی آمفیبول به روش‌های مختلف در جدول ۳ آمده است. بر اساس این داده‌ها، توده‌های گرانیت‌وئیدی غرب تفت دارای میانگین گستره فشار ۱۵-۴۹ کیلوبار را نشان می‌دهند (شکل ۷ الف). همچنین بر اساس محاسبات اشمیت [۱۶]، سنگ‌های منطقه گستره دمای ۶۵۹-۸۹۱ درجه سانتی‌گراد را دارند (جدول ۳، شکل ۷ ب). از اینرو، برپایه آمفیبول‌های کانیایی سنگ است [۱۹]. از اینرو، برپایه آمفیبول‌های مورد بررسی

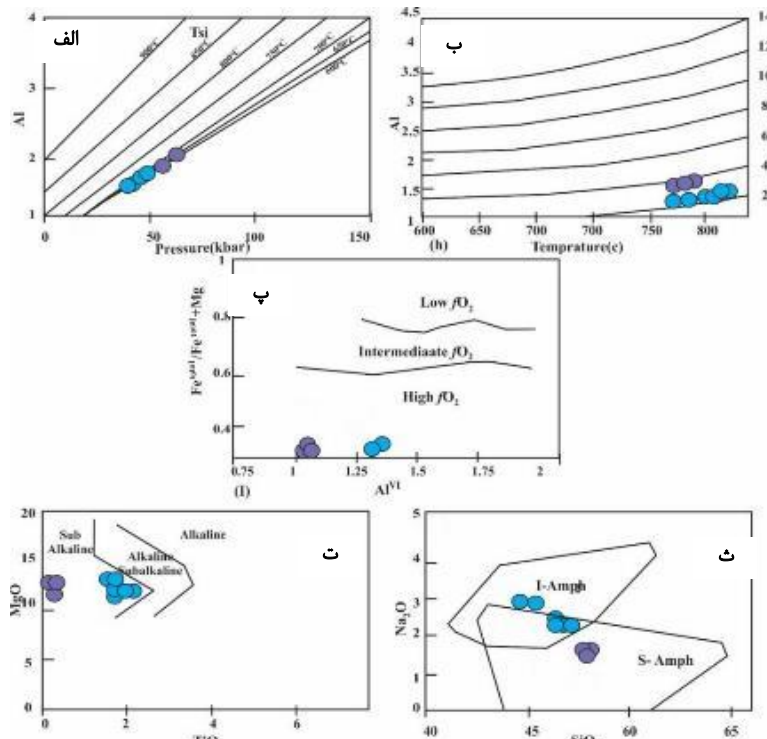
و ث). [۲۲، ۲۱]. همچنین عدد منیزیم ($Mg\#$) در هورنبلندهای مورد بررسی برای شناسایی خاستگاه مagma [۲۳] نشانگر خاستگاه گوشته‌ای است (جدول ۲).

آمفیبول‌ها، خاستگاه و محیط زمین‌ساختی ماگمایی سنگ‌های آذرین منطقه در گستره نیمه قلایی و در گستره زمین‌ساختی ماگمایی وابسته به مناطق فرورانش قرار دارند (شکل‌های ۷ ت

جدول ۳ مقایسه محاسبات فشار، دما، عمق و فوگاسیته اکسیژن توده‌های گرانیتوئیدی غرب تفت به روش‌های مختلف.

Sample	Point	Amphibole Name	Pressure (Kbar)						Temperature (°C)					Log/fO ₂ (bars)	Depth (km)	
			۱	۲	۳	۴	۵	۶	۷	۸	۹	۱۰	۱۱			
GH.AL.35	2.1.R	Edenite	۲.۷۱	۲.۲۴	۲.۶۷	۳.۸۳	۲.۱	۲.۰۴	۸۷۰	۷۵۸	۷۷۹	۷۳۱	۷۸۶	-۱۰.۷	۵.۳	۵.۷
GH.AL.35	2.2.M	Edenite	۲.۸۹	۲.۴۹	۲.۷۳	۳.۹۵	۲.۱	۲.۱۴	۸۹۱	۷۷۷	۸۷۵	۷۵۷	۸۳۳	-۱۰.۷	۵.۵	۵.۹
GH.AL.35	2.3.C	Edenite	۲.۹۷	۲.۵۳	۲.۷۵	۳.۹۸	۲.۲	۲.۱۸	۸۹۱	۸۴۲	۸۸۰	۷۹۳	۸۹۷	-۱۰.۸	۵.۶	۶.۰
GH.AL.35	4.7.C	Mg-Hbl	۲.۷۱	۲.۶۸	۲.۱۲	۲.۲۷	۲.۱	۲.۰۸	۸۴۴	-	-	-	۸۴۴	-۱۱.۴	۴.۵	۴.۸
GH.AL.35	4.8.M	Mg-Hbl	۲.۹۰	۲.۸۹	۲.۲۸	۲.۶۴	۲.۱	۲.۷۷	۸۵۱	-	-	-	۸۵۱	-۱۱.۲	۴.۸	۵.۱
GH.AL.35	4.9.R	Mg-Hbl	۲.۶۱	۲.۵۶	۲.۰۳	۲.۱۷	۲.۱	۲.۴۹	۸۴۰	-	-	-	۸۴۰	-۱۱.۴	۴.۴	۴.۷
Average AL	-	-	۲.۰۷	۲.۰۸	۲.۲۲	۲.۶۱	۲.۱۱	۲.۰۸	۸۶۵	۷۹۳	۸۴۰	۷۶۴	۸۳۳	-۱۱.۰.۳	۵.۰	۵.۳
GH.AD.5	1.4.R	Fe-Hbl	۴.۷۷	۴.۶۵	۳.۶۰	۴.۹۳	۳.۸	۴.۲۹	۸۴۲	۷۶۷	۶۹۵	۷۲۳	۷۴۹	-	-	-
GH.AD.5	1.5.M	Fe-Hbl	۲.۷۰	۲.۷۸	۲.۹۵	۴.۲۰	۲.۷۰	۳.۰۷	۸۲۹	۷۴۷	۶۷۸	۷۱۱	۷۴۰	-	-	-
GH.AD.5	1.6.C	Fe-Hbl	۴.۴۴	۴.۶۱	۳.۵۷	۴.۹۰	۳.۸	۴.۲۶	۸۴۰	۷۲۶	۶۷۳	۶۸۵	۷۲۱	-	-	-
Average AD	-	-	۲.۲۰	۲.۳۴	۲.۲۷	۴.۶۸	۲.۶	۴.۰۴	۸۷۷	۷۵۴	۶۵۹	۷۰۶	۷۷۴	-	-	-

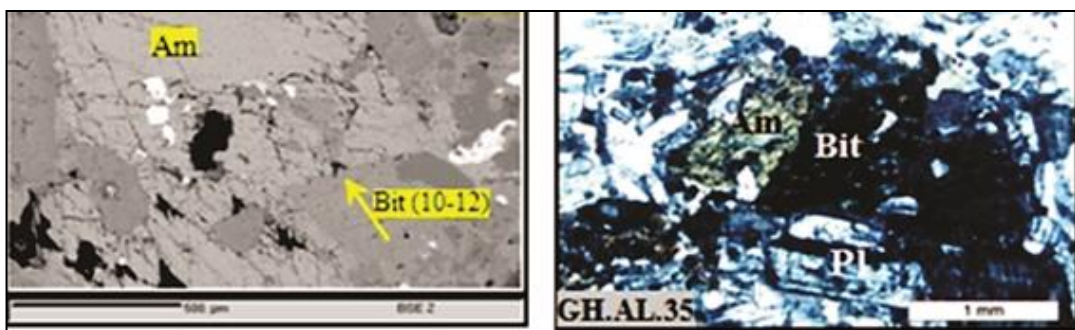
1= Hammarstrom and Zen (1986)
2= Hollister et al. (1987)
3= Johnson and Rutherford (1989)
4= Schmidt (1992)
5= Anderson and Schmidt (1995)
6= Average Pressure
7= Schmidt (1992)
8= Blundy and Holland (1990)
9= Holland and Blundy (1994)
10= Vynhal and Mcsween(1991)
11= Average Temperature (°C)
12= Oceanic depth (km) ($\rho=2890$ kg/m³)
13= Continental depth (km) ($\rho=2700$ kg/m³)
Mg-Hb = Magnesio- Homblende
Fe-Hb = Ferro-Homblende
Tre -Act= Tremolite- Actinolite



شکل ۷ ترسیم داده‌های آمفیبول توده‌های غرب تفت: در نمودار (الف) فشار بر حسب کیلوبار در مقابل Al^{IV} [۱۶] و محدوده دمایی تشکیل آمفیبول، ب) نمودار دما بر حسب درجه سانتی‌گراد در مقابل Al^{IV} [۱۲]، پ) نمودار Al^{IV} در مقابل $Fe^{IV}+Mg/Feo^{IV}$ [۱۲]، ت) جایگاه تکتونیکی آمفیبول‌های مورد مطالعه [۲۱]، ث) موقعیت ترکیب شیمیایی آمفیبول‌ها در نمودار [۲۲] (I-Amph) [۲۱]: آمفیبول درون صفحه‌ای، آمفیبول وابسته به مناطق فرورانش (S-Amph).

بیوتیت دیده می‌شود. نتایج تجزیه ریزپردازشی ۵ نقطه بیوتیت پس از تفکیک مقادیر Fe^{3+} و Fe^{2+} و بر اساس روش پیشنهادی مرجع [۵] و محاسبه فرمول ساختاری بر پایه ۲۴ اکسیژن در جدول ۴ آورده شده است.

شیمی بیوتیت
کاتیون‌های Fe , Mg و Al در کانی بیوتیت به فرآیندهای ماگمایی حساس هستند؛ از این رو، از کانی بیوتیت برای بررسی سنگ‌زایی توده‌های گرانیتوئیدی استفاده می‌شود [۲۴، ۲۵]. در شکل ۸ تصاویر میکروسکوپی نوری و الکترونی (BSE) [۲۵].



شکل ۸ تصاویر میکروسکوپی و الکترونی (BSE) از بیوتیت‌های همیست با آمفیبول و پلاژیوکلاز در کوارتز دیوریت علی‌آباد.

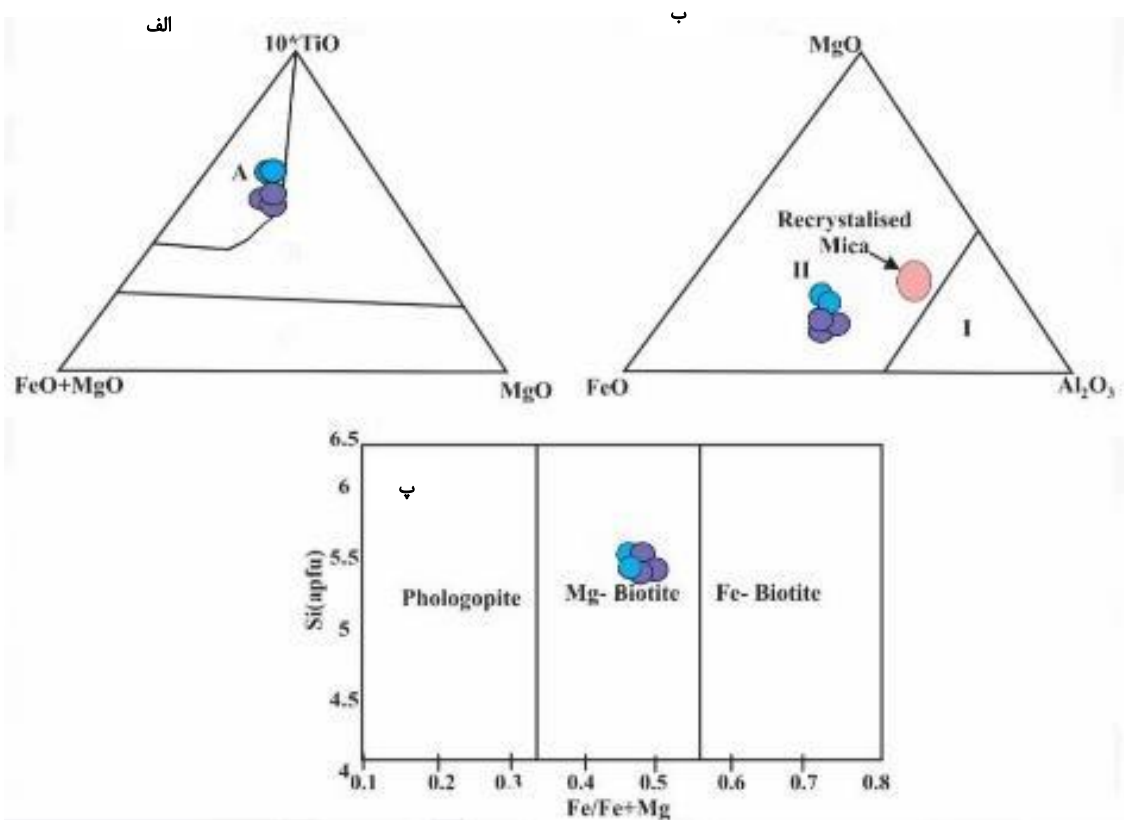
جدول ۴ نتایج آنالیز مایکروپرورب بیوتیت‌های توده‌های گرانیتوئیدی غرب تفت (بر اساس ۲۴ اکسیژن).

علایم اختصاری به کار رفته در جدول: R=Rim M=Middle C=Coer Mg-Bit=Magnesio-Biotite

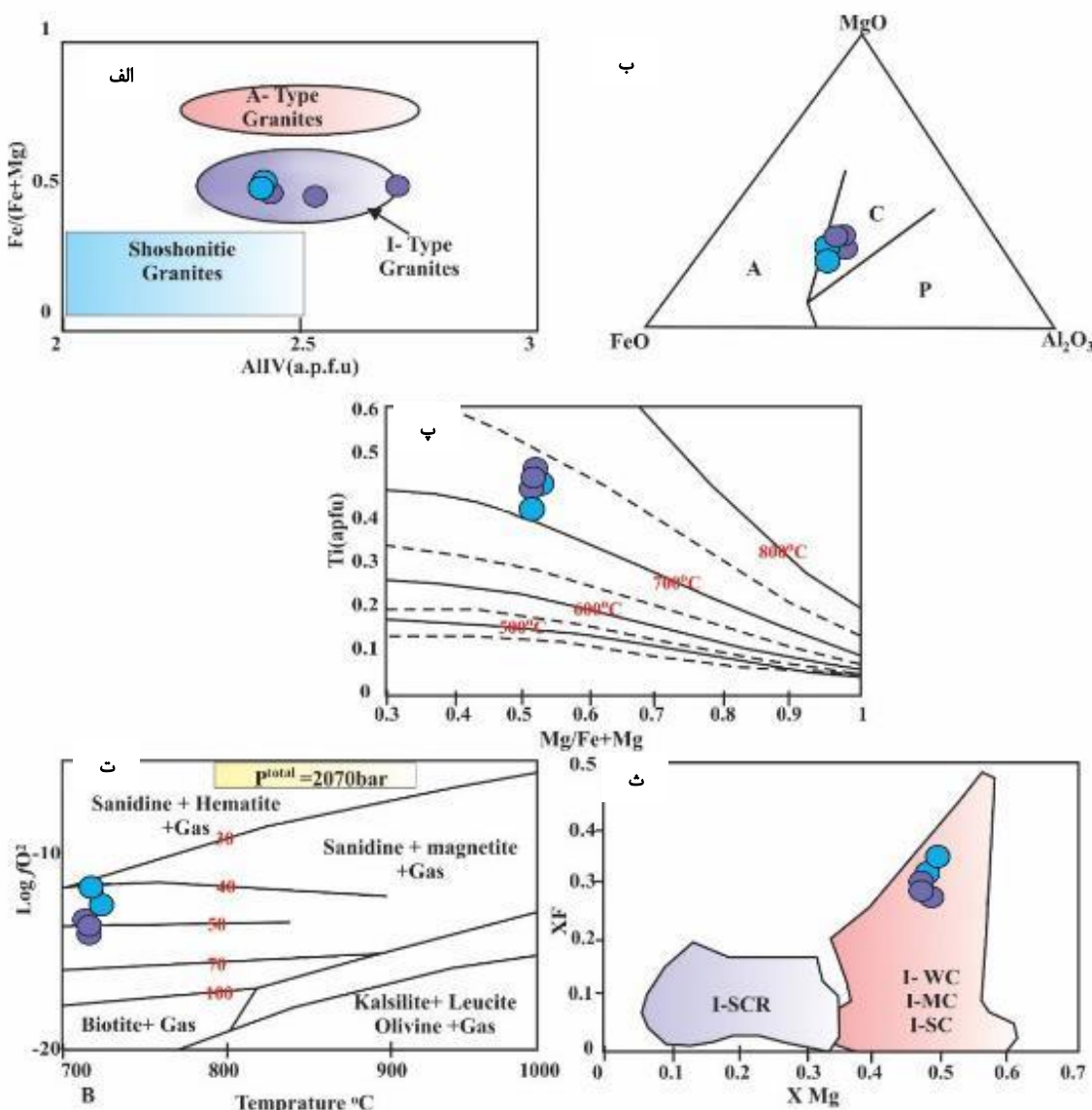
Sample Number	AL35	AL35	AD.5	AD.5	AD.5
Position	4/12R	4/10C	3.9R	3.8M	3/7 C
SiO_2	۳۷.۴۴	۳۶.۲۸	۳۶.۸۷	۳۶.۰۳	۳۶.۶
TiO_2	۳.۵۰	۳.۸۵	۴.۲۹	۴.۵۵	۴.۹۵
Al_2O_3	۱۵.۷۸	۱۴.۷۵	۱۴.۲۱	۱۵.۱۸	۱۴.۹۳
FeO	۱۹.۴۵	۱۹.۸۷	۲۰.۴۱	۲۰.۱۴	۲۰.۱۹
MnO	۰.۲۳	۰.۳۲	۰.۲۹	۰.۲۷	۰.۲۹
MgO	۱۱.۴۷	۱۱.۳۲	۱۱.۴۷	۱۱.۴۳	۱۱.۴۹
CaO	۰.۱۰	۰.۰۲۰	۰.۰۰	۰.۰۰	۰.۰۰
Na_2O	۰.۷۰	۰.۶۰	۰.۱۹	۰.۱۴۰	۰.۲۳۰
K_2O	۱۰.۵۸	۱۰.۱۲	۱۰.۰۷	۱۰.۰۰	۹.۹۴۰
F	۰.۰۰	۰.۰۰	۰.۰۰	۰.۰۰	۰.۰۰
Cl	۰.۰۰	۰.۰۰	۰.۰۰	۰.۰۰	۰.۰۰
Total	۹۸.۳۳	۹۶.۵۹	۹۷.۸۰	۹۷.۷۴	۹۷.۸۹
Si	۵۰.۴۳	۵۴.۱۶	۵۴.۱۵	۵۵.۲۵	۵۵.۱۵
Al^{IV}	۲.۴۵۷	۲.۵۸۴	۲.۵۸۵	۲.۴۶۵	۲.۴۸۵
Al^{VI}	۰.۰۶۱	۰.۱۰۵	۰.۰۵۸	۰.۲۹۹	۰.۱۵۸
Al^{T}	۲.۵۱۸	۲.۶۸۹	۲.۶۴۳	۲.۷۶۴	۲.۶۴۳
Ti	۰.۴۸۵	۰.۵۱۴	۰.۵۵۹	۰.۳۹۱	۰.۴۳۰
Fe	۰.۰۰	۰.۰۰	۰.۰۰	۰.۰۰	۰.۰۰
Mn	۲.۵۶۶	۲.۵۳۲	۲.۵۳۶	۲.۴۱۸	۲.۵۲۶
Mg	۰.۰۳۷	۰.۰۳۴	۰.۰۳۷	۰.۰۲۹	۰.۰۴۱
Ca	۰.۰۰	۰.۰۰	۰.۰۰	۰.۰۰	۰.۰۰
Na	۰.۰۵۵	۰.۰۴۱	۰.۰۵۷	۰.۰۴۰	۰.۰۱۸
K	۱.۹۳۱	۱.۹۱۷	۱.۹۰۴	۲.۰۰۶	۱.۹۶۲
F	۰.۰۰	۰.۰۰	۰.۰۰	۰.۰۰	۰.۰۰
Cl	۰.۰۰	۰.۰۰	۰.۰۰	۰.۰۰	۰.۰۰
SUM	۲۲.۲۲	۲۲.۳۹	۲۲.۴۳	۲۲.۴۷	۲۲.۴۶
Y_{Total}	۸.۲۳۸	۸.۴۳۶	۸.۳۶۰	۸.۴۴۲	۸.۳۷۳
X_{Total}	۱.۹۸۶	۱.۹۶۸	۱.۹۷۳	۲.۰۲۷	۱.۹۸۳
Al_{Total}	۲.۵۱۸	۲.۶۸۹	۲.۶۴۳	۲.۷۶۴	۲.۶۴۳
$\text{Fe}/(\text{Fe}+\text{Mg})$	۰.۵۰	۰.۴۹۷	۰.۵۰۱	۰.۴۸۸	۰.۴۹۶
$\text{Mn}/(\text{Mn}+\text{Fe})$	۰.۰۱۴	۰.۰۱۳	۰.۰۱۴	۰.۰۱۲	۰.۰۱۶
Mg#	۰.۵۰	۰.۵۰	۰.۵۰	۰.۵۱	۰.۵۰

بیوتیت‌های موجود در توده‌های گرانیتوئید غرب تفت در گستره گرانیت‌های نوع I قرار می‌گیرند (شکل ۹ الف). جایای نمونه‌های بیوتیت در نمودار تغییرات $(Fe+Mg)/Fe$ (شکل ۹) نسبت به Al^{IV} [۲۹]، نوع گرانیت‌های I را نشان می‌دهد (شکل ۱۰ الف). همچنین بیوتیت‌ها در نمودار مثلثی $FeO-MgO-Al_2O_3$ برای رده‌بندی سری ماقمای گرانیتوئیدی، در گستره آهکی قلیایی قرار دارند (شکل ۱۰ ب). نمودار تعیین دما برپایه مقدار تیتان بیوتیت‌ها [۳۰]، دمای ۷۰۰-۸۰۰ درجه سانتی‌گراد رانشان می‌دهند (شکل ۱۰ پ). میزان گریزندگی اکسیژن $\text{Log } O_2f$ (Log O_2f) برای توده‌های نفوذی غرب یزد با استفاده از نمودار دوتایی $\text{Log } O_2f$ نسبت به دما [۲۰]، بین ۱۱-۱۰ تا ۱۰-۱۴ بار برآورد می‌شود (شکل ۱۰ ت). همچنین نمودارهای تعیین کننده میزان آلودگی پوسته‌ای نشانگر اثر آلودگی پوسته‌ای بر توده‌های مورد بررسی است (شکل ۱۰ ث).

شاخص ترین ویژگی بیوتیت حساسیت بالای آن نسبت به مقدار و یا تغییر مقدارهای Al و $Fe/Fe+Mg$ ماقمای مادر است که این دو اثرپذیری بیوتیت ماقمای مادر، شرایط در سنگ میزبان را به طور مستقیم نشان می‌دهند [۲۶]. براساس نمودار سه‌تایی $MgO-TiO_2-FeO+MnO$ [۲۷] بیوتیت‌های مورد بررسی از نوع اولیه برآمده از تبلور ماقما هستند (شکل ۹ الف). همچنین مقدار کمتر از یک Al^{VI} (بر اساس ۲۴ اکسیژن) بیوتیت‌های مورد بررسی بین ۰/۳۷ تا ۰/۲۹ میانگر ماهیت ماقمایی آنهاست (جدول ۴). در تقسیم‌بندی بیوتیت‌ها بر اساس تغییرات $Fe/(Fe+Mg)$ به (Fe_۱/Fe_۰+Mg)، نمونه‌های منطقه مورد بررسی در گستره منیزیو بیوتیت قرار می‌گیرند (شکل ۹ ب) [۲۸]. ترکیب کانی بیوتیت نشان‌دهنده ماهیت و شرایط فیزیکوشیمیایی ماقمای مادر است [۲۴]. همچنین در نمودار تغییرات $Fe/(Mg+Fe)$ نسبت به Al^{IV} [۲۹]. بیشتر



شکل ۹ الف) نمودار سه‌تایی تمایز انواع بیوتیت‌ها [۲۷]، ب) نمودار مثلثی $(MgO-FeO-Al_2O_3)$ [۳۱] و جایگاه ترکیب شیمیایی بیوتیت‌ها، پ) رده‌بندی شیمیایی میکاهای توده نفوذی مورد بررسی در نمودار [۲۸].



شکل ۱۰ (الف) نمایش نمونه‌های بیوتیت در نمودار تغییرات $\text{Fe}/(\text{Fe}+\text{Mg})$ در مقابل AlIV [۲۹]، (ب) نمودار مثلثی $\text{FeO}-\text{MgO}-\text{Al}_2\text{O}_3$ در مقابل $\text{Fe}/(\text{Fe}+\text{Mg})$ در مقابله AlIV [۳۰]، (پ) نمودار تعیین دما با استفاده از مقدار تیتان بیوتیت‌ها [۳۱]، (ت) ترسیم نمونه‌ها در نمودار تغییرات $\log f\text{O}_2$ در مقابل دما بر حسب درجه سانتیگراد [۲۰]، (ث) ترسیم بیوتیت‌های مورد بررسی در نمودارهای تخمین میزان آلودگی پوسته‌ای [۳۲].

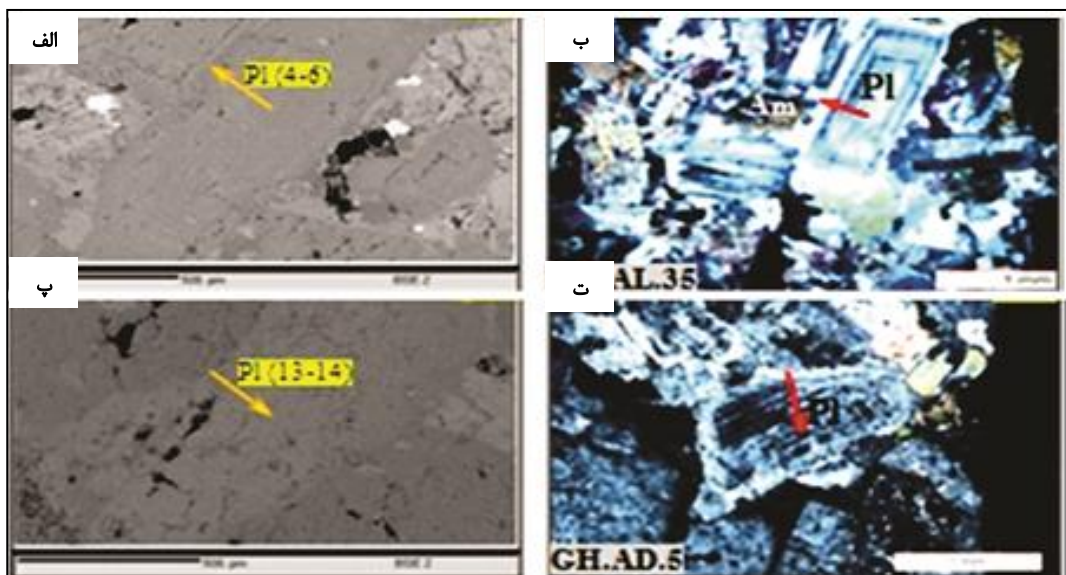
که ترکیب پلازیوکلازهای قلیایی گرانیت خضرآباد از An_{38} تا An_{46} ، $\text{Ab}_{91-100}\text{An}_2$ ، کوارتز دیوریت علی‌آباد از An_{24} تا An_{38} و مونزوگرانیت آدربلندان از An_{34} تا An_{46} متغیر است (جدول ۵). بررسی ترکیب لبه و مرکز بلورهای پلازیوکلازها نشان می‌دهد که ترکیب پلازیوکلازها از مرکز به لبه در کوارتز دیوریت علی‌آباد از An_{24} به An_{38} و در مونزوگرانیت آدربلندان از An_{34} به An_{46} تغییر می‌کند.

شیمی فلدسپار

تصاویر میکروسکوپی نوری و الکترونی (BSE) نشان می‌دهند که پلازیوکلازهای منطقه مورد بررسی به صورت بلورهای تیغه‌ای نیمه‌شکل دار تا شکل دار و در تعادل با کانی‌های آمفیبوی، کوارتز، بیوتیت، ارتوکلاز و مگنتیت هستند. (شکل ۱۱). نتایج تجزیه شیمی فلدسپارهای منطقه مورد بررسی در جدول ۵ آورده شده است. این نتایج پس از محاسبه فرمول ساختاری بر پایه ۸ اکسیژن ارائه شده‌اند. نتایج نشان می‌دهد

سه متغیره An-Ab-Or [۳۳]، نمونه‌های علی‌آباد در گستره الیگوکلاز تا آندزین و نمونه‌های آدربلنдан دارای بیشترین درصد آنورتیت (An₄₆ تا An₃₄) هستند (شکل ۱۲ الف). نمودار سه‌تایی ارتوز - آلت - آنورتیت [۳۴]، دمای ۷۰۰ تا ۸۰۰ درجه سانتی‌گراد را برای فلدسپات‌های توده‌های غرب تفت نشان می‌دهد (شکل ۱۲ ب).

بر اساس داده‌های ریزپردازشی، پلازیوکلازهای علی‌آباد در مرکز دارای آنورتیت بیشتری نسبت به لبه هستند و منطقه‌بندی عادی نشان می‌دهند. این در حالی است که در توده گرانیتوئیدی آدربلنдан لبه پلازیوکلازها نسبت به مرکز دارای درصد آنورتیت بیشتری بوده و کلسیمی‌تر است و منطقه‌بندی غیرعادی و معکوس نشان می‌دهد. بر اساس نمودار



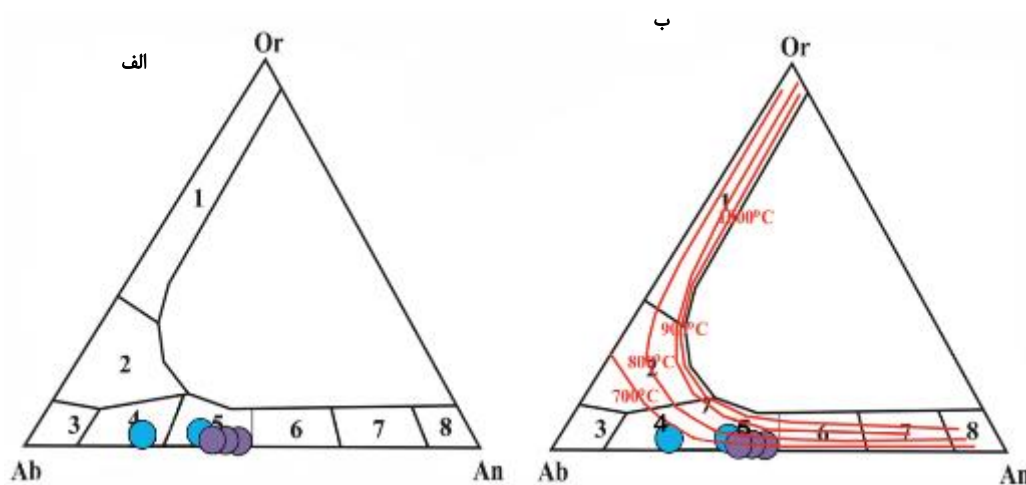
شکل ۱۱ تصاویر الکترونی (BSE) و میکروسکوپی از فلدسپارهای مورد بررسی: (الف) پلازیوکلاز شکل‌دار با منطقه‌بندی و ترکیب آندزین در کوارتزدیوریت علی‌آباد (BSE)، (ب) پلازیوکلاز شکل‌دار با منطقه‌بندی و ترکیب آندزین در کوارتزدیوریت علی‌آباد (XPL)، (پ) پلازیوکلاز نیمه‌شكل‌دار با ترکیب آندزین در گرانودیوریت آدربلنдан (BSE)، (ت) پلازیوکلاز نیمه‌شكل‌دار با ترکیب آندزین در گرانودیوریت آدربلنдан (XPL).

جدول ۵ نتایج آنالیز مایکروبروب فلدسپارهای توده‌های گرانیتوئیدی غرب تفت (بر اساس ۸ اکسیژن). علایم اختصاری به کار رفته در جدول

R=Rim M=Middle C=Coer Mg-Bit=Magnesio-biotite:

Sample Number	Position	SiO ₂	TiO ₂	Al ₂ O ₃	FeO	MnO	MgO	CaO	Na ₂ O	K ₂ O	Total
AL.35	3.4.C	57.86	0.00	26.90	0.37	0.02	0.02	8.80	6.72	0.38	101.7
AL.35	3.5.M	59.83	0.00	25.41	0.38	0.00	0.01	7.04	7.82	0.54	101.09
AL.35	3.6.R	62.50	0.00	24.16	0.31	0.01	0.00	5.56	8.48	0.51	101.68
AD.5	1.1.R	57.12	0.05	28.07	0.21	0.00	0.01	9.50	6.25	0.33	101.54
AD.5	1.2.M	55.42	0.00	27.03	0.02	0.00	0.00	8.14	7.71	0.22	98.55
AD.5	1.3.C	53.48	0.07	27.93	0.02	0.01	0.00	9.75	5.47	0.16	97.25
AD.5	4.13.R	56.78	0.03	27.09	0.23	0.02	0.02	9.75	6.16	0.30	100.46
AD.5	4.14.C	54.98	0.00	28.75	0.04	0.00	0.00	9.09	6.04	0.09	98.99

Sample Number	Position	Cations Based on 8 Oxygen								Or	Ab	An
		Si	Al	Fe	Mn	Mg	Ca	Na	K			
AL.35	3.4.C	2.3	1.4	0.0	0.0	0.0	0.7	1.1	0.1	5.6	33.0	58.4
AL.35	3.5.M	2.4	1.3	0.0	0.0	0.0	0.6	1.2	0.1	5.6	45.0	65.8
AL.35	3.6.R	2.5	1.3	0.0	0.0	0.0	0.4	1.3	0.1	5.6	43.0	71.8
AD.5	1.1.R	2.2	1.5	0.0	0.0	0.0	0.0	0.8	0.9	5.5	1.50	52.1
AD.5	1.2.M	2.2	1.5	0.0	0.0	0.0	0.0	0.7	1.0	5.5	0.80	56.6
AD.5	1.3.C	2.2	1.5	0.0	0.0	0.0	0.0	0.7	1.3	5.7	1.80	64.3
AD.5	4.13.R	2.3	1.4	0.0	0.0	0.0	0.8	1.0	0.0	5.5	2.60	54.3
AD.5	4.14.C	2.3	1.5	0.0	0.0	0.0	0.7	1.0	0.1	5.5	2.90	55.2



شکل ۱۲ (الف) موقعیت فلدسپارهای غرب تفت در نمودار سه متغیره An-Ab-Or [۳۲]، (ب) تخمین دمای تشکیل فلدسپارها در نمودار سه متغیره An-Ab-Or همراه با ایزوترم‌های سولوس از [۳۴].

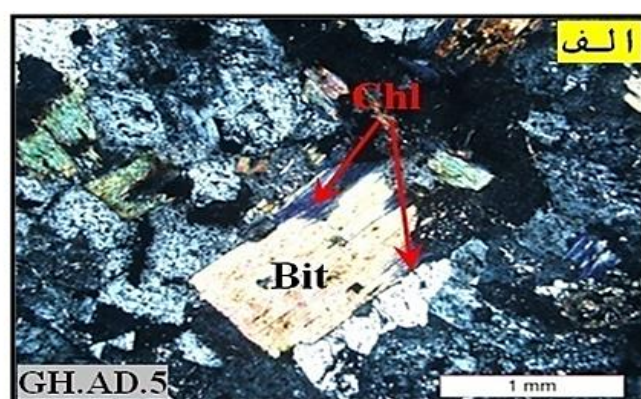
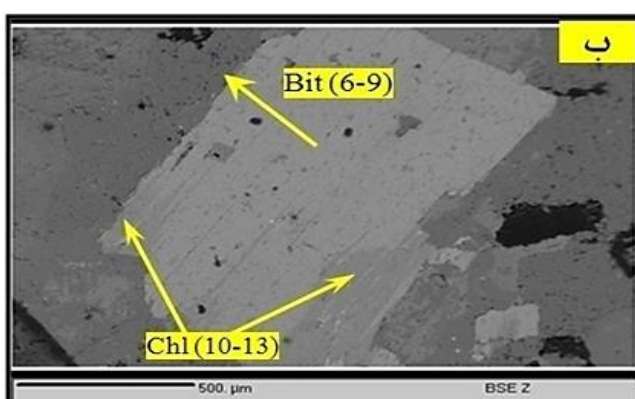
برداشت

بررسی مودال توده‌های گرانیتوئیدی علی‌آباد و آدربلندان بیانگر حضور توده‌های مونزوگرانیتی و گرانوڈیوریتی است. تجزیه شیمی آمفیبول‌ها به حضور آمفیبول‌های نوع ماگمایی کلسیمی در گستره فروهورنبلند، ترمولیت و فرواکتینولیت (شاخص گرانیت‌های نوع I) اشاره دارد. این آمفیبول‌ها در گستره فشار سانتی‌گراد در اعماق ۴,۹ تا ۲,۱ کیلومتر تشکیل شده‌اند. ترکیب شیمیایی آمفیبول‌ها به مقادیر بالای گریزندگی اکسیژن اشاره دارد. شیمی کانی‌های بیوتیت نشانگر بیوتیت‌های اولیه ناشی از تبلور ماقما با ترکیب بین دو قطب آنیت و فلوگویت و بیانگر گرانیت‌های نوع I آهکی قلیایی وابسته به فرورانش است.

شیمی کلریت

ترکیب کلریت‌ها می‌تواند برای تعیین ترکیب کانی‌های اولیه، دمای دگرسانی توده و نقش سیال‌ها استفاده شود. این کلریت‌ها از دگرسانی کانی‌های آمفیبول و بیوتیت تشکیل شده‌اند و در راستای رخ‌ها و لبه این کانی‌ها دیده می‌شوند (شکل ۱۳ (الف و ب)).

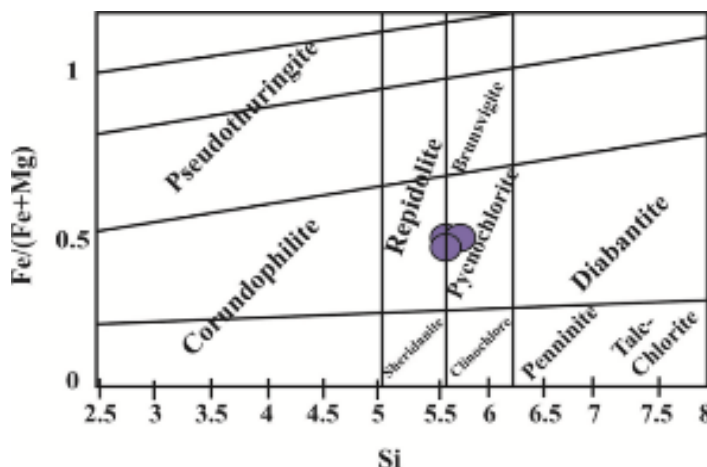
نتایج تجزیه ریزپردازشی کلریت‌ها به همراه محاسبه فرمول ساختاری آنها بر اساس ۲۸ اکسیژن در جدول ۶ ارائه شده‌اند. بر اساس نمودار مرجع [۳۵]، کلریت‌های مورد بررسی از نوع ریپیدولیت و پیکنوكلریت هستند (شکل ۱۴). با استفاده از روش مرجع [۳۶] دمای دگرسانی کلریت بین ۳۳۰ تا ۳۶۰ درجه سانتی‌گراد محاسبه شد.



شکل ۱۳ (الف و ب) تصاویر میکروسکوپی (XPL) و الکترونی (BSE) از کلریت و بیوتیت‌ها در مونزوگرانیت آدربلندان.

جدول ۶ نتایج آنالیز مایکروپرورب کلریت‌های توده‌های گرانیتوئیدی غرب تفت (فرمول ساختاری بر اساس ۲۸ اکسیژن)

Sample Number	AD.5	AD.5	AD.5
Position	۳,۱۰	۳,۱۱	۳,۱۲
SiO_2	۲۶,۸۲	۲۷,۵۰	۲۷,۴۳
TiO_2	۰,۱۴۰	۰,۰۵۰	۰,۶۷۰
Al_2O_3	۱۹,۵۸	۱۸,۹۵	۲۱,۱۷
FeO	۲۵,۸۰	۲۵,۱۸	۲۵,۶۸
MnO	۰,۶۱۰	۰,۴۵۰	۰,۴۵۰
MgO	۱۵,۷۰	۱۶,۰۹	۱۵,۷۷
CaO	۰,۰۸۰	۰,۰۵۰	۰,۰۴۰
Na_2O	۰,۰۰۰	۰,۰۳۰	۰,۰۱۰
K_2O	۰,۱۰۰	۰,۰۰۰	۰,۰۲۰
Total	۸۸,۸۳	۸۹,۳۰	۹۰,۷۲
28 Oxygen Cations Based on			
Si	۵,۵۹۰	۵,۷۰۰	۵,۵۶۰
AlIV	۲,۴۱۰	۲,۳۰۰	۲,۴۴۰
AlVI	۲,۴۱۰	۲,۳۴۰	۲,۶۳۰
AlT	۴,۸۲۰	۴,۶۴۰	۵,۰۷۰
Ti	۰,۰۲۰	۰,۰۱۰	۰,۰۱۰
Fe^{3+}	۰,۰۲۰	۰,۰۳۰	۰,۱۱۰
Fe^{2+}	۴,۴۸۰	۴,۵۱۰	۴,۲۴۰
Mn	۰,۱۱۰	۰,۰۸۰	۰,۰۹۰
Mg	۴,۸۸۰	۴,۹۷۰	۴,۶۷۰
Ca	۰,۰۲۰	۰,۰۱۰	۰,۰۱۰
Na	۰,۰۰۰	۰,۰۲۰	۰,۰۱۰
K	۰,۰۵۰	۰,۰۰۰	۰,۰۱۰
SUM	۲۸,۰۲	۲۸,۰۲	۲۸,۰۶
$\text{Fe}/(\text{Fe}+\text{Mg})$	۰,۴۸۰	۰,۴۸۰	۰,۴۸۰

شکل ۱۶ جایگاه ترکیب و نوع کلریت‌های مورد بررسی در نمودار تغییرات Si در مقابل $\text{Fe}/(\text{Fe}+\text{Mg})$.

- stoichiometric criteria*", Mineralogical Magazine 51 (1987) pp. 431-435.
- [6] Esawi E. K., "AMPH-CLASS: An excel spreadsheet for the classification and nomenclature of amphibole based on the 1997 recommendations of the International Mineralogical Association", Computers Geosciences 30 (2004) pp. 753-760.
- [7] Leake B. E., Woolley A. R., Arps C. E. S., Birch W. D., Gilbert M. C., Grice J. D., Hawthorne F. C., Kato A., Kisch H. J., Krivovichev V. G., Linthout K., Laird J., Mandarino J. A., Maresch W. V., Nickel E. H., Rock N. M. S., Schumacher J. C., Smith D. C., Stephenson N. C. N., Ungaretti L., Whittaker E. J. W., Youzhi G., "Nomenclature of amphiboles: Report of the Subcommittee on Amphiboles of the International Mineralogical Association, Commission on New Minerals and Mineral Names", Eur. J. Mineral. 9 (1997) pp. 623–651.
- [8] Leake B.E., Woolley A. R., Birch W. D., Burke E. A. J., Ferraris G., Grice J.D., Hawthorne F.C., Kisch H. J., Krivovichev V. G., Schumacher J. C., Stephenson N. C. N., Whittaker E. J. W., "Nomenclature of amphiboles: Additions and revisions to the International Mineralogical Association's amphibole nomenclature", American Mineralogist, 89, pp. 883–887.
- [9] Stein E., Dietl E., "Hornblende thermobarometry of granitoids of Central Odenwald (Germany) and their implication for the geotectonic development of the Odenwald", Mineralogy and Petrology, 72, 185-207.
- [10] Blundy J.D., Holland T. J., "Calcic amphibole equilibrium and a new amphibole plagioclase geothermometer", Cont. Minerol. Petrol. 104 (1990) pp. 208-224.
- [11] Pal N., Pal D.C., Mishra B., Meyer F. M., "The evolution of the Palim granite in the Bastar tin province", Central India, Mineralogy and Petrology 72 (2001) pp. 281-304.
- [12] Anderson J. L., Smith D. R., "The effect of temperature and oxygen fugacity on Al-in-hornblende barometry", American Mineralogist 80 (1995) pp. 549-559.
- [13] Hammarstrom J. M., Zen E., "Aluminium in hornblende and empirical igneous geobarmometre", Am. Mineral 710 (1986) pp.1297-1313.

همچنین نتایج بیانگر تشکیل آن‌ها در دمای بین ۷۰۰ تا ۷۵۰ درجه سانتی‌گراد بوده که طی صعود و جایگیری دستخوش آلودگی و آلایش متوسط تا شدید مواد پوسته‌ای شده‌اند. پلازیوکلازهای مورد بررسی دارای ترکیب الیگوکلاز تا آندزین هستند که در دمای ۷۰۰ تا ۸۰۰ درجه سانتی‌گراد متبلور شده‌اند. کلریت‌های مورد بررسی از نوع ریپیدولیت و پیکنوکلریت هستند که در دمای ۳۳۰ تا ۳۶۰ درجه سانتی‌گراد تشکیل شده‌اند همچنین اکسیدهای آهن مورد بررسی دارای ترکیب بین مگنتیت و هماتیت هستند.

قدرتانی

خداآند بزرگ را سپاس که به من توفیق داد گامی هر چند کوچک در راه تعالی علم و دانش بردارم. برخود لازم می‌دانم از معاونت پژوهشی دانشگاه پیام نور بابت بخشی از هزینه‌های تحقیق در قالب طرح پژوهشی و گرانات تشکر نموده و همچنین از سردبیر، هیات تحریریه، داوران محترم و خانم قوامی مسئول دفتر مجله بلورشناسی و کانی‌شناسی ایران تشکر و سپاس فراوان داشته باشم.

مراجع

- [1] Shabanian N., Davoudian A. R., Dong Y., Liu X., "U-Pb zircon dating, geochemistry and Sr-Nd-Pb isotopic ratios from Azna-Dorud Cadomian metagranites", Sanandaj-Sirjan zone of western Iran. Precambrian Research, 306 (2018)41-60. <https://doi.org/10.1016/j.precamres.2017.12.037>.
- [2] Ghanei ardakanei J., "Chemical mineralogy of the western Ardakan granitoid mass (Central Iran)", Iranian Journal of Crystallography and Mineralogy,32 (2024) pp. 338-325.
- [3] Haj Molaali A., Ghomashi A., Afsharian A.M., Hadadian M., "Geology map 1/100000 of Khezrabad", Geological Survey and Mineral Exploration of Iran (1996).
- [4] Khosro tharani Kh., Vaziri Moghadam h., "Stratigraphy of the Lower Cretaceous in the western and southwestern areas of Yazd", Journal of Geology, 7 (1985) pp. 36-45.
- [5] Droop G. T. R., "A general equation Fe^{3+} concentration in ferromagnesian silicates and oxygen from microprobe analysis using

- peraluminous magmas. *Journal of petrology* 35, 2, pp. 525-541.
- [25] Ben, Ohoud, M. D., 2005. Discrimination between primary magmatic biotites, reequilibrated biotites and neoformed biotites. Publhshed by Elsevier SAS.
- [26] Speer, J. A., 1984. Micas in igneous rocks, In Micas (S. W. Baliley, ed). *Rev. Mineral.* 13, pp. 299-356.
- [27] Nachit, H., Ibhi, A., Abia, E. I.H, Ohoud, M. B., 2005. Discrimination between primary magmatic biotites, C. R. Acad. Science. Paris Geoscience 337, pp.1415-1420.
- [28] Forster, H. J., and Tischendorf, G., 1989. Reconstruction of the volatile characteristics of granitoidic magmas and hydrothermal solutions on the basis of dark micas: The Hercynian Postkinematic granites and associated high-temperature mineralization of the Erzgebirge (G.D.R), *Chemie der Erde (Geochemistry)* 49, pp.7-20.
- [29] Jiang, Y., Jiang, S., Ling, H., Zhou, X., Rui, X., and Yang, W., 2002. Petrology and geochemistry of shoshonitic plutons from the western Kunlun orogenic belt, Xinjiang, northwestern China: Implications for granitoid geneses. *Lithos* 63, pp. 165-187.
- [30] Henry, D. J., Guidotti, C. V., Thomason, J. A., 2005. The Ti-substitution surface for low-to-medium pressure metapeliticbiotites: Implications for geothermometry and Ti- substitution mechanisms, *American Mineralogist* 90, pp. 316-328.
- [31] Nockolds, S. R., 1947. The relation between chemical composition and paragenesis in the biotite micas of igneous rocks. *Am. J. Sci.* 245, pp.401-420.
- [32] Ague, J. J., Brimhall G. H., 1988. Regional variations in bulk chemistry, mineralogy and the compositions of mafic and accessory minerals in the batholiths of California. *Geological Society of America Bulletin*, 100, pp. 891-911.
- [33] Deer, W.A., Howie, R. A. and J., Zussman, 1991. An introduction to the rock forming minerals. Longman Scientific and Technical, 528 p.
- [14] Hollister L.S., Grissom G.C., Peters EK, Stowell HH, Sisson VB., 1987. Confirmation of the empirical correlation of Al in hornblende with pressure of solidification of calc-alkaline plutons. *Am Mineral* 72(3-4): 231–239.
- [15] Johnson, M., C., Rutherford, M. J., 1989. Experimental Calibration of the aluminium in – hornbhende geobarometer with application to Long Valley Caldera (California) Volcanic rocks, *Geology* 17, pp.837-841.
- [16] Schmidt, M., 1992. Amphibole composition in tonalities as a function of pressure: an experimental calibration of the Al in hombelende barmometre, *Cont. Mineal. Petrol.* 110, pp. 304-310.
- [17] Sial, A.N., Ferreira, V.P., Fallick, A.E., Jeronimo, M., Cruz M, 1998. Amphibole- rich clots in calc-alkalic granitoids in the Borborema province northeastern Brazil, *Journal of South American Earth Science* 11, pp. 457-471.
- [18] Fleet, M.E., Barnett R., L., 1978. Partitioning in calciferous amphiboles from the Frood mineSudbury, Ontario, *The Canadian Mineralogist* 16, pp. 527–532.
- [19] Anderson, J. L., 1996. Status of thermobarometry in granitic batholiths. *Earth Science Review* 87, pp. 125-138.
- [20] Wones, D. R. and Eugster, H. P., 1965. Stability of biotite experiment, theory, and application. *Am. Mineral.* 50, pp.1228-1272.
- [21] Molina, J., Scarrow, J., Montero, P.G. and Bea, F., 2009. High-Ti amphibole as a petrogenetic indicator of magma chemistry: Evidence for mildly alkalic hybrid.
- [22] Coltorti, M., Bondaiman, C., Faccini, B., Grégoire, M., O'Reilly, S. Y., Powell W., 2007. Amphiboles from suprasubduction and intraplate lithospheric mantle, *Lithos* 99, pp. 68-84.
- [23] Zhang, C.L., Yu, H.F., Ye, H.M., Zhao, Y., and Zhang, D.S., 2006. Aoyitake plagiogranite in western Tarim block, NW China: Age, geochemistry, petrogenesis and its tectonic implications: *Science in China Series D: Earth Sciences*, v. 49, no. 11, p. 1121–1134.
- [24] Abdel- Rahman, A. M., 1994. Nature of biotites from alkaline, calc-alkaline and

- [36] Cathelineau, M., and Nieva, D., 1985. A chlorite solid solution geothermometer-The Los Azufres (Mexico) geothermal system. Contribution to Mineralogy and Petrology 91, pp. 324-351.
- [34] Elkins, L.T., Grove, T. L., 1990. Ternary feldspar experiments and thermodynamic models. American Mineralogist 75, pp. 544-559.
- [35] Deer, W.A., Howie, R. A., Zussman, J. (1996) Rock forming mineral, Longman 1 , 333 p.